

## 論文

低合金チタンのすきま腐食臨界条件に及ぼす  
Ni, Mo 添加の影響貴堂高徳<sup>\*</sup>・辻川茂男<sup>\*2</sup>

## Effects of Ni and Mo on Critical Conditions for Crevice Corrosion of Low Alloy Titanium

Takanori KIDOH and Shigeo TSUJIKAWA

## Synopsis:

Critical conditions to repassivate growing crevice corrosion in terms of electrode potential,  $E_R$ , temperature,  $T_R$ , and NaCl concentration,  $C_{\text{NaCl}, R}$ , were determined for metal/metal-crevice of ASTM Grade 12 (G12Ti) and Ti- $x$  ( $=0\sim2\%$ )Ni- $y$  ( $=0\sim0.4\%$ )Mo alloys.

G12Ti with 0.8%Ni and 0.3%Mo has more noble  $E_R$  values than commercially pure Titanium (C.P.Ti) and this tendency is more enhanced in lower concentrations of NaCl solutions. G12Ti is predicted to be resistant to crevice corrosion in solutions containing as high as 9%NaCl at 100°C, which is markedly higher than 1%NaCl or less as the highest concentration for C.P.Ti to be resistant at the temperature.

$E_R$  value for Ti- $x$ Ni- $y$ Mo alloy depends almost on Ni content. Sufficiently noble value of  $E_R$  is attained for the alloys with Ni contents over 0.2%. The beneficial effect of Ni could be explained from formation of  $\text{Ti}_2\text{Ni}$  which works as Pd does in Ti-0.15Pd alloy.

$C_{\text{NaCl}, R}$  depends not only on Ni content but also on Mo content. It decreases with increasing Mo content in the range from 0 to 0.1~0.2%, above which  $C_{\text{NaCl}, R}$  increases with increasing Mo content. This shows beneficial effect of Mo combined with Ni. Based on the results of Ti- $x$ Ni- $y$ Mo alloy, characteristics of G12Ti are found to be accounted for approximately through its contents of Ni and Mo.

Key words : low alloy titanium; corrosion resistance; crevice corrosion; alloying element; nickel; molybdenum; ASTM Grade 12.

## 1. 緒 言

工業用純チタン(以下、C.P.Ti)より耐すきま腐食性に優れる低合金チタンとして0.2%Pdを含むチタン合金があるが、これは高価格であるのが難点である。これに対して、その後に開発されたASTM Grade 12(Ti-0.8Ni-0.3Mo、以下、G12Ti)は、比較的低価格で耐食性に優れるとされる<sup>1)</sup>。本報は、先に<sup>2)</sup>C.P.Tiに適用した再不動態化法によるすきま腐食臨界条件を、G12Tiおよび低濃度のNiとMoを含む合金について求めたものである。

## 2. 実験方法

## 2.1 試片

供試材の化学組成をTable 1に示す。No.1は

C.P.Ti<sup>2)</sup>、No.17は市販のG12Ti(TIMET社製)で、ここに示す他に0.11%Feと0.018%Cを含む。5mm

Table 1. Chemical compositions in wt% of the Ti alloy specimens used.

No.	Ni	Mo	O	N	H
1	—	—	0.18	0.008	0.002
2	—	0.07	0.06	0.006	0.004
3	—	0.22	0.097	0.010	0.006
4	—	0.30	0.05	0.006	0.005
5	—	0.40	0.06	0.006	0.005
6	0.20	—	0.06	0.008	0.006
7	0.21	0.21	0.05	0.007	0.005
8	0.20	0.29	0.10	0.008	0.006
9	0.20	0.39	0.10	0.008	0.006
10	1.04	—	0.06	0.009	0.005
11	0.96	0.10	0.10	0.006	0.007
12	1.01	0.20	0.05	0.008	0.004
13	0.96	0.29	0.09	0.008	0.006
14	0.97	0.38	0.09	0.008	0.006
15	2.01	—	0.06	0.006	0.005
16	1.95	0.19	0.10	0.008	0.006
17	0.82	0.29	0.13	0.004	0.005

昭和60年10月本会講演大会にて発表 昭和64年1月6日受付 (Received Jan. 6, 1989)

\* 東京大学工学部(現:昭和電工(株))(Faculty of Engineering, The University of Tokyo, Now Showa Denko K.K.)

\*2 東京大学工学部 工博(Faculty of Engineering, The University of Tokyo, 7-3-1 Hongo Bunkyo-ku, Tokyo 113)

厚の板材を受取りのまま供試した。No. 2~16 は  $x (= 0 \sim 2\%)$  Ni と  $y (= 0 \sim 0.4\%)$  Mo を含む Ti- $x$ Ni- $y$ Mo 合金である。これらは、三菱金属(株)において実験室的に溶製されたもので、ボタン溶解の後 850°C でのパック圧延で約 4 mm 厚の板とし、700°C で 1 h、空冷の焼鈍を施してある。合金中相の同定には X 線回折装置(マック・サイエンス社、MXP18)を用い、Cu ターゲット、モノクロメーター使用、出力 8 kW の条件下に調べた。

いずれの供試材も前報<sup>2)</sup>に示すようなねじつき環状板に加工し、2 枚 1 組として C. P. Ti 製ボルトに締め合わせたとき、内径 10、外径 20 mm の環状面(以下、すきま面という)が相接する金属/金属-すきまをもつ試片とした。

用いた電解槽及び試験液としての脱気 NaCl 水溶液も前報<sup>2)</sup>と同様である。

すきま面は、SiC 紙で #1200 まで湿式研磨し、測定開始まで脱イオン水中に保存した。測定開始直前には再び SiC 紙で軽く研磨してすきま腐食が容易に発生するようにした後、当該試験液となる NaCl 水溶液を塗布し、指締めによりすきま試片を組み立て、試験液中に浸漬した。

## 2・2 再不動態化電位 $E_R$ の測定

以下のようないずれの電位操作を加えた:a) すきま試片を初期設定電位  $E_0 = -0.2$  V(室温の SCE に照合)に保持して、b) 試片電流  $I$  が上限電流  $I_H = 500 \mu\text{A}$  に達した時点( $500 \mu\text{A}$  を超えない場合は 12 h 後)より  $T_1$  時間  $I_H$  の値に定電流保持してすきま腐食を成長させる、c) 10 mV/10 min の速さで設定電位を階段的に卑化していく、d) 試片電流  $I$  がしきい値  $I_L = 50 \mu\text{A}$  をきった後は電位降下速度を 10 mV/60 min にする。こうして、d) の段階で試片電流が元の不動態保持電流密度レベル(数  $\mu\text{A}$ )に戻りアノード方向への経時増加を示さなくなったら最も貴な電位を  $E_R$  とした。

## 2・3 再不動態化温度 $T_R$ の測定

100°C の 25% NaCl 水溶液中ですきま試片を  $E_0 = -0.2$  V に保持して約 24 h 経過後すきま腐食の成長継続を確認後、自然放冷にて試験液温度を 90°C まで下げる。以降約 24 h ごとに 10°C ずつ試験液温度を下げてゆき、試片電流が不動態保持電流密度レベルとなった温度を  $T_R$  とした。

なお G12Ti では 10 および 15% NaCl 水溶液中での  $T_R$  も測定した。このとき 25% NaCl 水溶液中で上述のようにすきま腐食を発生・成長させた後、後述のように試験液中 NaCl 濃度を下げるという手順をとった。

## 2・4 再不動態化 NaCl 濃度 $C_{\text{NaCl},R}$ の測定

2・3 では温度を下げるところを、ここでは試験液の NaCl 濃度を下げる。すなわち、約 24 h 経過ごとに電解槽内の試験液を一部取り出し、かわりに同じ温度の純水を加える。抜きとった液を室温まで冷却後塩化物イオン電極を用いてその NaCl 濃度を決定した。その他の操作は 2・3 と同じである。すきま腐食の成長継続を確認した最も薄い NaCl 濃度を  $C_1$ 、すきま腐食の再不動態化を認めた最も濃い NaCl 濃度を  $C_2$  とする。真の  $C_{\text{NaCl},R}$  は  $C_1$  と  $C_2$  の間にあることになる。

## 3. 実験結果と考察

### 3・1 G12Ti の再不動態化条件

25% NaCl 水溶液中において、まず 100°C で 2・2 の方法により  $E_R$  を測定した。これより低温での  $E_R$  を求めるには、当初 100°C の液中で -0.2 V に 6 h 以上保持してすきま腐食を発生・成長させた。この後、自然放冷により所定の温度まで液温を下げ、ここで 2 h 以上すきま腐食が再不動態化しないことを確認して、以降は 2・2 の方法によりその温度での  $E_R$  を測定した。

この過程で得た液温 100, 90, 80 および 70°C での電位と試片電流との関係を Fig. 1 に示す。求めた  $E_R$  と液温との関係を Fig. 2 に●印で示す。100~80°C では約 -0.4 V と一定であり、70°C ではやや貴になる。なお -0.2 V に保持しつつ降温して 60°C 以下になると再不動態化した。G12Ti の  $E_R$  は、併せ示した C. P. Ti の値<sup>2)</sup>(○印)に比較して、約 60 mV 貴である。

100°C の 25% より低い NaCl 水溶液中での  $E_R$  の測定では、当初 25% NaCl 水溶液中で -0.2 V に 6 h 以上保持してすきま腐食を発生・成長させた。この後は -0.2

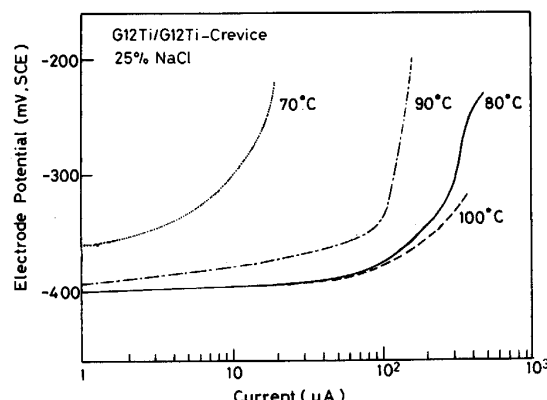


Fig. 1. Relations between crevice corrosion current and electrode potential for Grade 12 Ti in 25% NaCl solution at different temperatures, which were obtained in  $E_R$  measurement procedures.

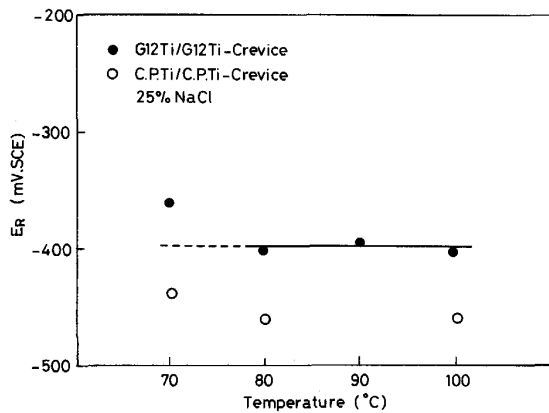


Fig. 2. Effect of temperature on  $E_R$  for metal/metal-crevice of Grade 12 Ti as compared with that of C. P. Ti in 25% NaCl solution.

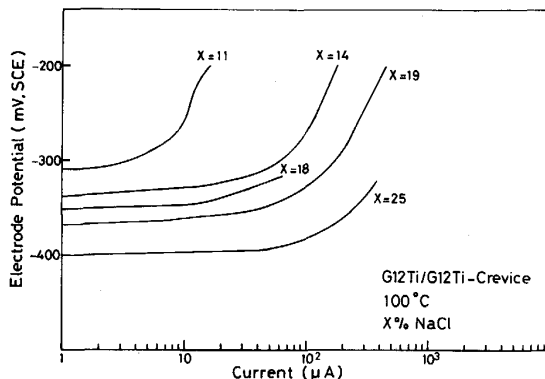


Fig. 3. Relations between crevice corrosion current and electrode potential for Grade 12 Ti in different concentrations of NaCl solutions at 100°C.

Vに保ったまま2・4でのべた液希釈法によりNaCl濃度を下げ、この液中で2h以上すきま腐食が再不動態化しないことを確認して、以降は2・2の方法により $E_R$ を測定した。

この過程で得た19, 18, 14および11%NaCl水溶液中の電位と試片電流との関係をFig. 3に示す。求めた $E_R$ とNaCl濃度との関係をFig. 4に●印で示す。○印は併せ示したC. P. Tiの値<sup>2)</sup>である。図中の回帰式はそれぞれ次式で表せる。

$$\text{G12Ti : } E_R(\text{mV.SCE}) = -244 - 241 \log[\text{Cl}^-](\text{mol/l})$$

$$\text{C. P. Ti : } E_R(\text{mV.SCE}) = -419 - 69 \log[\text{Cl}^-](\text{mol/l})$$

G12Tiの $E_R$ はC. P. Tiのそれより貴であり、両者の差はNaCl濃度の低下するほど拡大する。

2・3および2・4で述べた方法により、G12Tiの25, 15, 10%NaCl水溶液中における $T_R$ および100°Cにおける $C_{\text{NaCl},R}$ を測定し、それぞれ $T_R=50, 70, 90^\circ\text{C}$ および $C_2=9.0\%$ をえた。これらの結果を温度とNaCl濃度に関するすきま腐食マップに書き込むとFig. 5のように

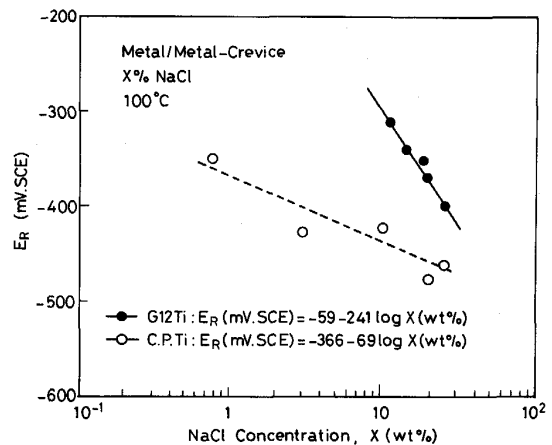


Fig. 4. Relation between  $E_R$  and NaCl concentration in solutions at 100°C for Grade 12 Ti as compared with that for C. P. Ti.

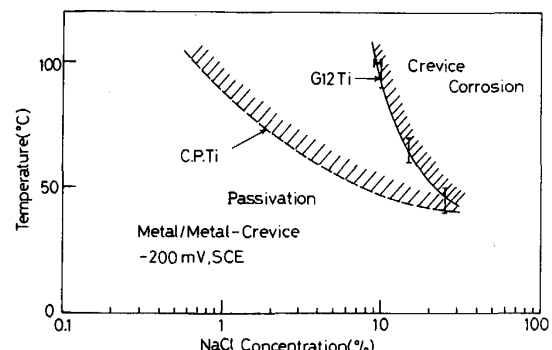


Fig. 5. Crevice corrosion map in terms of temperature and NaCl concentration for metal/metal-crevice of Grade 12 Ti as compared with that of C. P. Ti.

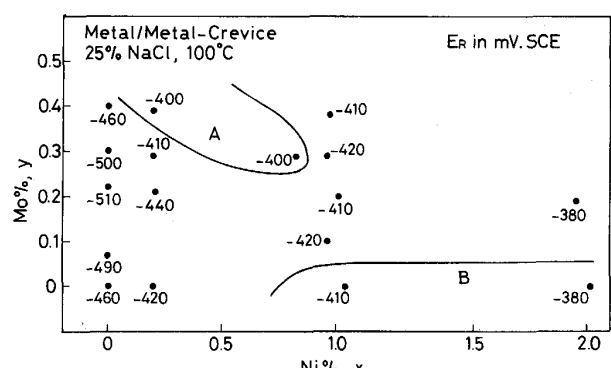


Fig. 6. Repassivation potential values in mV vs. SCE in terms of Ni and Mo contents of the Ti alloys.

なる。併せ示したC. P. Tiのそれ<sup>2)</sup>に比し、G12Tiの可使用域がとくにNaCl濃度に関し広いことがよみとれる。

3・2 Ti- $x$ Ni- $y$ Mo 合金の再不動態化条件

Table 1 に示す No.2~16 の合金の  $E_R$  を 100°C の 25% NaCl 水溶液中で測定した。結果を Table 2 にまとめる。

Table 2. Summary of repassivation conditions for the Ti alloys determined in terms of electrode potential ( $E_R$ ), temperature ( $T_R$ ) and NaCl concentration ( $C_1$ ,  $C_2$ ).

No.	Alloy	$E_R$ (V. SCE)	$T_R$ (°C)	$C_1$ (wt%)	$C_2$ (wt%)
1	C. P. Ti	-0.46	50	0.75	0.40
2	Ti-0.1Mo	-0.49	50	0.14	0.067
3	Ti-0.2Mo	-0.51	50	0.029	0.022
4	Ti-0.3Mo	-0.50	50	0.051	—
5	Ti-0.4Mo	-0.46	50	3.1	2.4
6	Ti-0.2Ni	-0.42	50	1.5	0.90
7	Ti-0.2Ni-0.2Mo	-0.44	50	0.90	0.43
8	Ti-0.2Ni-0.3Mo	-0.41	50	3.5	1.5
9	Ti-0.2Ni-0.4Mo	-0.40	60	14	6.7
10	Ti-1Ni	-0.41	60	4.2	3.0
11	Ti-1Ni-0.1Mo	-0.42	60	0.32	0.25
12	Ti-1Ni-0.2Mo	-0.41	50	0.72	0.19
13	Ti-1Ni-0.3Mo	-0.42	50	1.5	1.3
14	Ti-1Ni-0.4Mo	-0.41	50	5.4	3.2
15	Ti-2Ni	-0.38	60	4.8	1.5
16	Ti-2Ni-0.2Mo	-0.38	50	0.69	0.37
17	Grade 12	-0.40	50	10	9.0
18	Grade 12*	-0.36	60	14	9.2
19	Grade 12**	-0.33	50	14	9.2

\* : No. 17+600°C×0.5 h, WQ      \*2 : No. 17+600°C×4 h, WQ

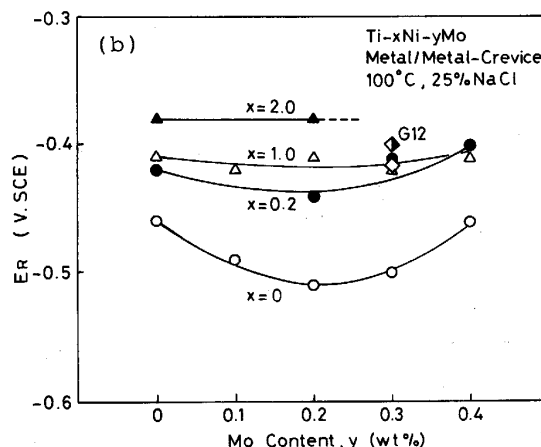
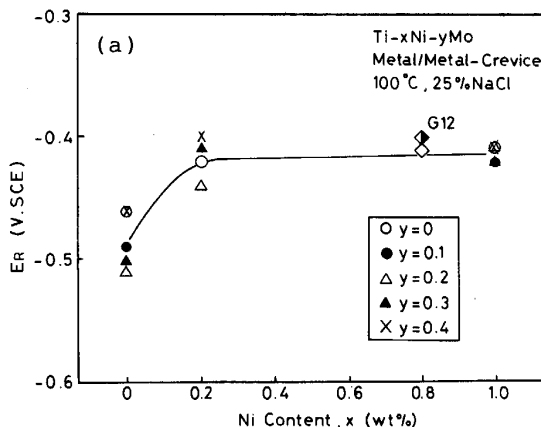


Fig. 7. Variations of  $E_R$  for Ti- $x$ Ni- $y$ Mo alloys with Ni (a) and Mo (b) contents in 25% NaCl solution at 100°C.

めると共に、Ni 量  $x$ -Mo 量  $y$  座標中に記入したものと Fig. 6 に示す。前報の結果 (No.1), および上述の G12Ti (No.17) も併せ示す。

また  $E_R$  測定値をそれぞれ Ni 量, Mo 量に対して整理して Fig. 7(a), 7(b) に示す。Fig. 7(a) によれば、Mo 量  $y=0\sim0.4\%$  のいずれの合金においても  $E_R$  は、0.2%までの Ni 量の増加と共に著しく貴化し、以降は 1%までほぼ一定である。Fig. 7(b) によれば、Ni 量  $x=0\%$  の合金の  $E_R$  は、Mo 量 0.2%までは Mo 量の増加と共に卑になり、同 0.2%を超えると貴になる。すなわち Mo 量 0.2%付近で極小値をとる。しかし Ni 量  $x$  が 0.2, 1.0, 2.0%と増加するにつれ Mo 量の影響は小さく、認められなくなる。なお、Fig. 7(a), (b) のいずれにおいても G12Ti の値 (◆印) は Ti- $x$ Ni- $y$ Mo 合金の化学組成 ( $x$ ,  $y$ ) から推定される値 (◇印) とほぼ一致している。

2・3 の方法により測定した  $T_R$  を、Table 2 と Fig. 8

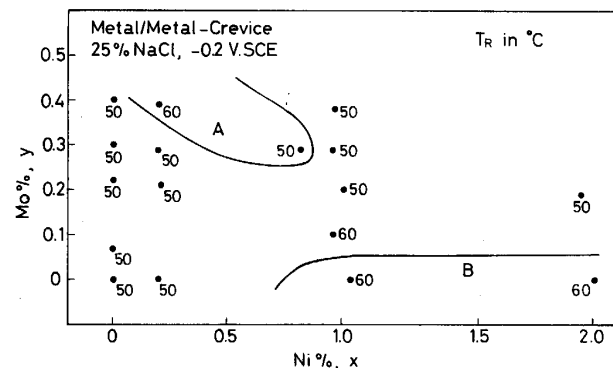


Fig. 8. Repassivation temperature values in °C for Ti- $x$ Ni- $y$ Mo alloys in terms of Ni and Mo contents.

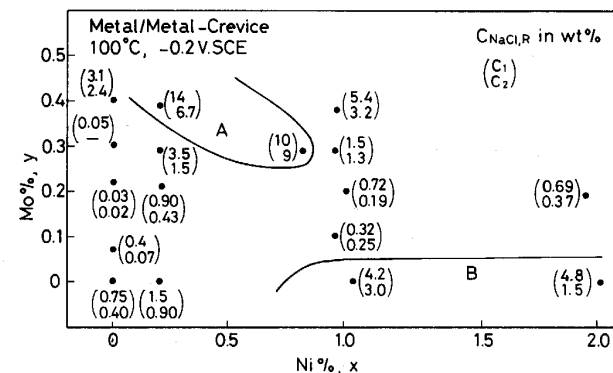


Fig. 9. NaCl concentration for repassivation,  $C_{NaCl,R}$  in wt% for Ti- $x$ Ni- $y$ Mo alloys in terms of Ni and Mo contents, which exists between the two values,  $C_1$  (upper) and  $C_2$  (lower), in a parenthesis at each data point.

に示した。Fig. 8 中の領域 A, B については後述する。どの合金の  $T_R$  も 50 または 60°C で、差が小さい。

2.4 の方法により測定した  $C_1$ ,  $C_2$  を、Table 2 と Fig. 9 に示した。Fig. 9 中の領域 A, B については後述する。また Ni 量, Mo 量に対して整理してそれぞれ

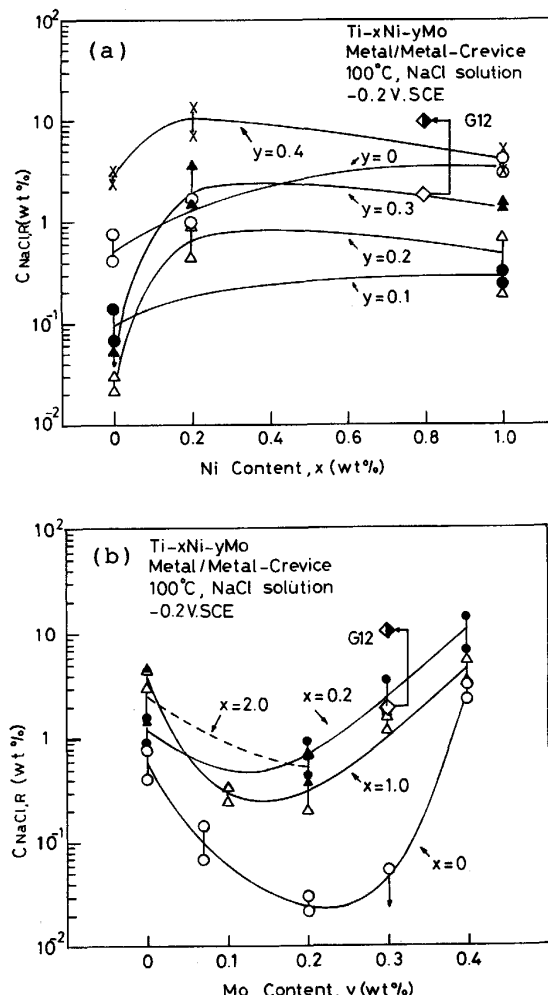


Fig. 10. Variations of  $C_{NaCl,R}$  for  $Ti-xNi-yMo$  alloys with Ni (a) and Mo (b) contents.

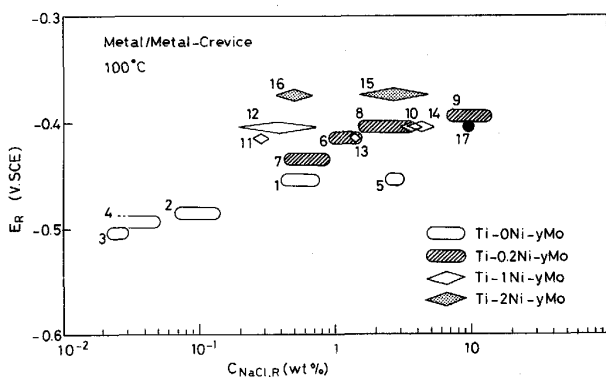


Fig. 11. Relationship between  $C_{NaCl,R}$  and  $E_R$  for all the Ti alloy specimens (No. 1~17).

Fig. 10(a), (b) に示した。縦線で結んだ二つのプロットは上が  $C_1$ 、下が  $C_2$  である。Fig. 10(a) に示す Ni 量に対する  $C_{NaCl,R}$  の傾向は  $E_R$  のそれ (Fig. 7(a)) と同様である。Fig. 10(b) に示す Mo 量に対する  $C_{NaCl,R}$  の挙動も  $E_R$  のそれ (Fig. 7(b)) に似ているが、極小値を示す挙動がすべての Ni 量において明瞭で、かつ  $C_{NaCl,R}$  値は Mo 量にも依存している。なお、Fig. 10(a) (b) における G12Ti の  $C_{NaCl,R}$  (◆印) と推定値 (◇印)との差が  $E_R$  のそれより大きいのは、熱処理条件または鉄分によるのかもしれない。

X 線回折で、Ni を 0.2% 以上含むすべての合金に  $Ti_2Ni$  を認めた。しかし、 $\beta$  相の存在を示すピークはいずれの合金にも認めなかった。

17 種の合金の  $E_R$  と  $C_{NaCl,R}$  との相関を Fig. 11 に示した。 $C_{NaCl,R}$  のデータプロットは  $C_1$  と  $C_2$  を両端とするよう横長に伸ばしてある。Ni 量 0% の合金グループ (No. 1~5) と同 0.2% の合金グループ (No. 6~9) とでは、両者は正の相関、すなわち  $E_R$  が貴な合金ほど  $C_{NaCl,R}$  が高いという対応関係がある。Ni 量 1% の合金グループ (No. 10~14 および No. 17 の G12Ti) と同 2% の合金グループ (No. 15, 16) とでは、Mo 量によって  $C_{NaCl,R}$  は変わるが  $E_R$  はほぼ一定値にとどまっている。なお  $E_R$  と  $C_{NaCl,R}$  との対応を考えるとき、それを決定したときの電位と NaCl 濃度条件が異なることに留意しておく。すなわち、 $E_R$  は 25% という濃厚な NaCl 濃度下で測定された  $-0.51 \sim -0.33$  V という比較的卑な電位であり、 $C_{NaCl,R}$  は  $-0.2$  V という貴な電位に保持して測定された  $0.02 \sim 14\%$  という比較的低い NaCl 濃度である。

### 3.3 Ni と Mo の役割

Ni 量  $x$ -Mo 量  $y$  座標中に  $C_{NaCl,R}$  を記入した Fig. 9において、 $(x, y) = (0.8, 0.3)$  と  $(0.2, 0.4)$  を含む左上の領域 A において  $C_{NaCl,R}$  が最も高く、 $(1, 0)$  と  $(2, 0)$  を含む右下の領域 B において  $C_{NaCl,R}$  が次に高い。これら二領域は Fig. 6 において  $E_R$  が高く、Fig. 8 においてもわずかではあるが  $T_R$  が高い領域でもある。すなわち、調査した合金元素組成の範囲では、三つの耐食性指標からみた適正範囲は上述の A, B 二領域であり、G12Ti の合金組成は領域 A にある。

単独添加の場合、耐食性改善に必要な Ni 量は比較的小なくすむという報告が多い。たとえば、沸騰 1M HCl<sup>3)</sup> 中では 2%，沸騰 0.9M NaCl + 0.1M HCl<sup>3)</sup> および沸騰 3.5% NaCl (pH=1)<sup>3,4)</sup> 中では 0.2% である。沸騰 6% NaCl 水溶液中のすきま腐食は 0.75% Ni で起らなくなる<sup>5)</sup>。

このような Ni の効果は、Pd のように水素電極反応の交換電流密度を上げるものが Ni 自体ではなく<sup>6)~8)</sup>, Ti<sub>2</sub>Ni である<sup>9)</sup>として解釈されている。すなわち, Ti<sub>2</sub>Ni 電極は脱気沸騰 1NHCl 中で約 -0.2 V.SCE の  $E_{corr}$  を示し、これより卑側で大きなカソード電流を示す。同じ液中の C. P. Ti と Ti<sub>2</sub>Ni とのガルバニック対試験において、面積比 1/90 以上の Ti<sub>2</sub>Ni が短絡されれば C. P. Ti を不動態化できる、と報告されている<sup>9)</sup>。同じ報告<sup>9)</sup>において、G12Ti を 600°C で 0.5 h 热処理したもののが分極曲線をみると、-0.35 V 付近でみかけアノーディックである外部電流が減少する。これはカソード電流成分が増加するためと思われる。600°C で 32 h 热処理したものではさらに著しいこの挙動は、 $\beta \rightarrow \alpha +$  Ti<sub>2</sub>Ni 反応による Ti<sub>2</sub>Ni の増加によると解釈されている。本報の G12Ti(No.17) に 600°C で 0.5 h および 4 h 保持後水冷した試片の結果を Table 2 の No.18 および 19 に示した。同じ効果により  $E_R$  が貴化したものと思われる。

しかしながら、たとえば Ti-2Ni 合金は、延性に乏しく冷延中に割れるほどであり<sup>10)</sup>、さらに沸騰 1MHCl 中でいったんカソード分極をうけて活性態化されると、C. P. Ti より激しく腐食するという準安定腐食挙動をもつことが指摘されていた<sup>3)</sup>。G12Ti の 600°C, 32 h 热処理材にも同じ挙動が報告されている<sup>9)</sup>。このような理由によって、Fig. 9 の領域B組成は不適当とされた<sup>10)</sup>のである。

単独添加の Mo についての報告では、自己不動態化に必要な Mo 量は、沸騰 1MHCl 中で 20%<sup>3)</sup>、沸騰 0.9MNaCl+0.1MHCl 中で 5% (+0.5% Nb)<sup>3)</sup>とかなり多量である。また食塩水中でのすきま腐食感受性をなくすには 3~6% が必要<sup>11)</sup>という。すなわち耐食性の観点からは数% 以上の Mo が必要となるが、このような合金も延性、とくに溶接曲げ性に劣る欠点があった<sup>10)</sup>。

Ti-1Ni-1Mo 合金は沸騰 1MHCl 中で Ti-0.15 Pd, Ti-2Ni と同様自己不動態化し、かつ Ti-2Ni におけるような上述の準安定腐食挙動を示さない<sup>3)</sup>ことがわかっていた。G12Ti の開発は、この複合組成を出発点として、0.6~1% Ni, Fe ≤ 0.2%, Mo ≈ 0.3% に到達した<sup>10)</sup>。Mo 量 0.3% は耐溶接曲げ性から選定されたとされてい

る<sup>10)</sup>が、Fig. 10(b) に示したように  $C_{NaCl,R}$  の極小値を与える 0.1~0.2% を超えていることで、耐食性の観点からも適当であるといえる。

#### 4. 結 言

ASTM Grade12 およびその Ni, Mo 組成の効果を検討するための Ti- $x$ Ni- $y$ Mo 合金について、金属-金属-すきまのすきま腐食臨界条件を測定し、先に求めた工業用純チタンとの比較を含め、以下の結論をえた。

- 1) Grade 12 チタンは、工業用純チタンに比較して、
  - a) 70~100°C の 25% NaCl 水溶液中で約 60 mV 貴な再不動態化電位  $E_R$  をもつ。
  - b) 100°C の NaCl 水溶液中の両者の  $E_R$  の差は、低濃度 NaCl 液になるほど拡大する。
  - c) 温度と NaCl 濃度とにおけるより広い可使用条件をもつ。100°C で工業用純チタンの 1% 以下に対し、Grade 12 は 9% NaCl 水溶液まで使える。
- 2) Ti- $x$ Ni- $y$ Mo 合金について、
  - d) 100°C の 25% NaCl 水溶液中の  $E_R$  は、主として Ni 量に依存し、0.2% 以上の Ni 量で十分貴になる。
  - e) 再不動態化 NaCl 濃度  $C_{NaCl,R}$  は、 $E_R$  と同様 Ni 量に依存する他、Mo 量にも依存し、0.1~0.2% Mo で極小値を示して以降 Mo 量の増加と共に増大する。
- 3) Grade 12 チタンの挙動は、同じ Ni, Mo 組成をもつ Ti-0.8Ni-0.3Mo 合金のそれにおおよそ等しい。

#### 文 献

- 1) 上窪文生、佐藤廣士、下郡一利: 鉄と鋼, 72 (1986), p. 701
- 2) 壱岐史章、辻川茂男: 鉄と鋼, 72 (1986), p. 292
- 3) J. C. GRIESS, Jr.: Corrosion, 24 (1968), p. 96
- 4) A. J. SEDRIKS: Corrosion, 29 (1973), p. 64
- 5) 小林末子夫、新谷与一郎: チタニウム・ジルコニウム, 30 (1982), p. 74
- 6) M. STERN and H. WISSENBERG: J. Electrochem. Soc., 106 (1959), p. 755
- 7) N. D. TOMASHOV: Theory of Corrosion and Protection of Metals (1966), p. 175 [McMillan]
- 8) M. G. FONTANA and N. D. GREENE: Corrosion Engineering (1978), p. 309 [McGraw-Hill]
- 9) R. S. GLASS: Electrochim. Acta., 28 (1983), p. 1507
- 10) R. W. SCHUTZ, J. A. HALL and T. L. WARDLAW: Proc. the 30th Anniversary Symposium of Japan Titanium Society (1982), p. 73 [チタニウム協会]
- 11) H. B. BOMBERGER and L. F. PLOCK: Mater. Prot., 8 (1969) 6, p. 45